



# การศึกษาการใช้เส้นพลาสติกที่ใช้แล้วแบบสั้นผสมในคอนกรีต

## INVESTIGATION OF THE USE OF RECYCLED SHORT PLASTIC WIRES IN CONCRETE

อมรรัตน์ สุริyawichitseranee<sup>1</sup>

สิติชัย แสงอาทิตย์<sup>2</sup> (Sittichai Seangatith)<sup>2</sup>

อำนาจ อภิชาติวัลลอก<sup>3</sup> (Amnat Apichatvullop)<sup>3</sup>

<sup>1</sup> นักศึกษา สาขาวิชาวิศวกรรมโยธา สำนักวิชาชีวกรรมศาสตร์ มหาวิทยาลัยเทคโนโลยีสุรนารี

<sup>2</sup> ผู้ช่วยศาสตราจารย์ สาขาวิชาวิศวกรรมโยธา สำนักวิชาชีวกรรมศาสตร์ มหาวิทยาลัยเทคโนโลยีสุรนารี

<sup>3</sup> รองศาสตราจารย์ สาขาวิชาวิศวกรรมโยธา สำนักวิชาชีวกรรมศาสตร์ มหาวิทยาลัยเทคโนโลยีสุรนารี

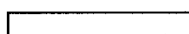
**บทคัดย่อ :** ในช่วงที่ผ่านมาได้มีนักวิจัยจำนวนมากประสบผลสำเร็จในการนำเส้นใยประเภทต่างๆ เช่น โพลีไพรีลีน (polypropylene) และไนลอน มาผสมในคอนกรีตเพื่อเพิ่มกำลังรับแรงดึง การดูดซึมพลังงาน และลดการแตกร้าวของคอนกรีต แต่ยังไม่มีงานวิจัย ค่อนกรีตเสริมเส้นใย polyethylene terephthalate (PET) และ high density polyethylene (HDPE) แม้ว่าเส้นใยทั้งสองชนิดจะมี คุณสมบัติทางกลที่กำลังรับแรงดึงสูงใกล้เคียงกับโพลีไพรีลีนและไนลอน และเป็นพลาสติกอีกชนิดหนึ่งซึ่งเป็นส่วนใหญ่ของขยะ พลาสติกซึ่งนับวันจะมีปริมาณมากขึ้น งานวิจัยนี้จึงมีวัตถุประสงค์เพื่อศึกษาวิธีนำพลาสติก PET และ HDPE มาเสริมคอนกรีตเพื่อให้ ได้กำลังรับแรงดึงเพิ่มขึ้น และลดการแตกร้าว โดยใช้เส้นพลาสติก PET และ HDPE ที่ใช้แล้วแบบสั้นผสมในคอนกรีต ตัวแปรที่ใช้ในการศึกษาประกอบด้วย อัตราส่วนน้ำต่อชีเมนต์ รูปทรงเส้นพลาสติกตรงและซิกแซก และปริมาณเส้นพลาสติกที่เสริมในคอนกรีต พบว่า การเสริมเส้นพลาสติกให้กำลังรับแรงดึงและค่าโมดูลัสตึงดหุนลดลงเมื่อปริมาณเส้นพลาสติกมากขึ้น แต่จะช่วยให้คอนกรีตมี กำลังรับแรงดึงเพิ่มขึ้น

**ABSTRACT :** In the past few years, a number of researchers have successfully used plastic fibers such as polypropylene and nylon as reinforcing fibers in concrete. The fibers increase the tensile strength and energy absorption, and reduce cracking in concrete. However, so far no researchers have tried polyethylene terephthalate (PET) and high density polyethylene (HDPE) as reinforcing fibers in concrete although they have tensile strengths close to that of the polypropylene and nylon and are readily available from plastic wastes. This research experimented with PET and HDPE plastic wires as reinforcing materials for concrete to determine the optimal amount and shape of plastic wires. The studied parameters were water-cement ratio, fiber shape: straight and zigzag, and percent of plastic fiber. From the tests, it was found that, by increasing the amount of plastic wires, the compressive strength and the modulus of elasticity of the concrete were decreased and the flexural strength of concrete were increased.

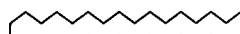
**KEYWORDS:** Short plastic wires, Compressive strength, Flexural strength, Recycled plastic, Concrete.

## 1 บทนำ

นักวิจัยหลายท่านประสบผลสำเร็จในการทำคอนกรีตเสริมเส้นใยประเภทต่างๆ ทั้งเส้นใยบริสุทธิ์และเส้นใยที่ทำจากวัสดุที่ใช้แล้ว เช่น โพลีไพรีพีลีน (polypropylene) [1], [2] และไนลอน (nylon) [3] เส้นใยทำให้คอนกรีตรับแรงดึง คุณชีมพลังงานได้มากขึ้น และลดการแตกร้าวของคอนกรีต โดยคอนกรีตดังกล่าวหมายความที่จะนำไปประยุกต์ใช้ในงานพื้นถนน อิฐลือก หรือกระเบื้องปูห้องน้ำ เพื่อให้โครงสร้างเหล่านี้สามารถรับแรงกระแทกได้เพิ่มขึ้น นอกจากนั้นแล้ว จากการศึกษาคุณสมบัติทางกลของพลาสติกที่ใช้แล้ว พบว่า PET (polyethylene terephthalate) และ HDPE (high density polyethylene) มีกำลังรับแรงดึงสูงประมาณ 20 – 40 MPa [4] ซึ่งใกล้เคียงกับกำลังรับแรงดึงของโพลีไพรีพีลีนและไนลอน แต่ยังไม่มีการนำพลาสติกสองชนิดนี้ซึ่งมีปริมาณเป็นส่วนใหญ่ของพลาสติกที่สามารถทำได้ง่ายมาใช้เป็นเส้นใยเสริมกำลังของคอนกรีต ดังนั้นงานวิจัยนี้จึงได้ลองทำคอนกรีตเสริมเส้นใยพลาสติก โดยมีวัตถุประสงค์เพื่อหาปริมาณและรูปร่างของเส้นพลาสติก PET และ HDPE ที่เหมาะสม ศึกษาคุณสมบัติและพฤติกรรมทางกลของคอนกรีตเสริมเส้นพลาสติกแบบสันที่ทำจากพลาสติกที่ใช้แล้วดังกล่าว ในที่นี้คุณสมบัติทางกลที่สนใจประกอบด้วย กำลังรับแรงอัด กำลังรับแรงดึง โมดูลัสยืดหยุ่น และลักษณะการวินติตัวแปรในการศึกษาประกอบด้วย อัตราส่วนน้ำต่อซีเมนต์ (w/c) 3 ค่าได้แก่ 0.4, 0.5, และ 0.6 เส้นพลาสติกแบบสันชนิด PET และ HDPE ที่ได้จากควบคุมรุกภัณฑ์ที่ใช้แล้ว โดยเส้นพลาสติกมีขนาดกว้าง 1.5 มม. ยาว 25.4 มม. ความหนาของเส้นพลาสติก PET และ HDPE เป็น 0.5 และ 0.6 มม. ตามลำดับ เส้นพลาสติกมี 2 รูปร่างคือ ตรงและซิกแซก ดังแสดงในรูปที่ 1 และปริมาณเส้นพลาสติกที่เสริมในคอนกรีตอยู่ที่ 0.5, 1.0, 1.5, และ 2.0 โดยปริมาตรของคอนกรีต



a. รูปร่างที่ 1 (s)



b. รูปร่างที่ 2 (z)

รูปที่ 1 รูปร่างเส้นพลาสติกที่ใช้

## 2 ตัวอย่างและวิธีทดสอบ

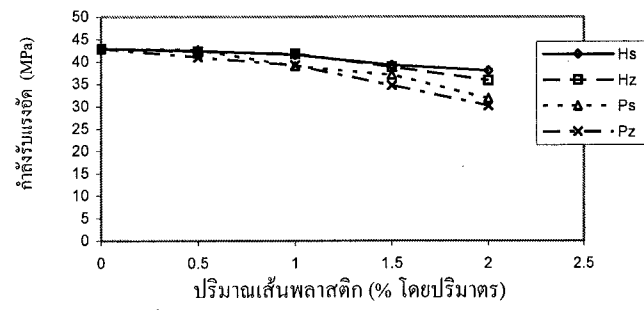
ในการทดสอบกำลังรับแรงอัด ตัวอย่างทดสอบเป็นคอนกรีตทึบทรงกระบอกขนาด  $\varnothing 15 \times 30$  ซม. โดยทดสอบตามมาตรฐาน

ASTM 39-96 [5] สำหรับการทดสอบกำลังรับแรงดึง ตัวอย่างทดสอบเป็นคอนกรีตขนาด  $10 \times 10 \times 50$  ซม. โดยทดสอบตามมาตรฐาน ASTM 78-94 [6] และในการหาค่าโมดูลัสยืดหยุ่นทดสอบตามมาตรฐาน ASTM 469-94 [7] ตัวอย่างทดสอบถูกบ่นในถุงพลาสติกและเก็บไว้ในห้องบ่มคอนกรีตเป็นเวลา 28 วัน ตัวอย่างการทดสอบกำลังรับแรงอัดและการทดสอบกำลังรับแรงดึงมีจำนวนอย่างละ 60 ชุด ชุดละ 3 ตัวอย่าง สัญลักษณ์ที่ใช้แทนเส้นพลาสติกมีดังนี้ H แทน HDPE, P แทน PET, s แทนเส้นพลาสติกตรง และ z แทนเส้นพลาสติกซิกแซก เช่น Hs หมายถึง เส้นพลาสติก HDPE ตรง เป็นต้น

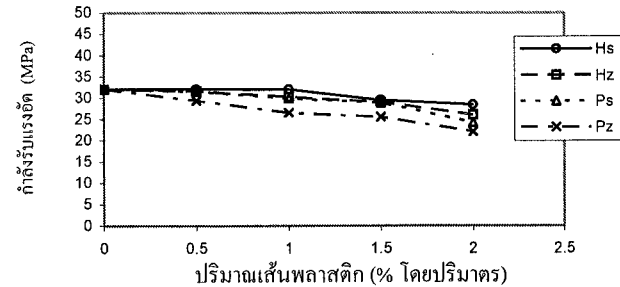
## 3 ผลการทดสอบและวิเคราะห์ผล

### 3.1 กำลังรับแรงอัด

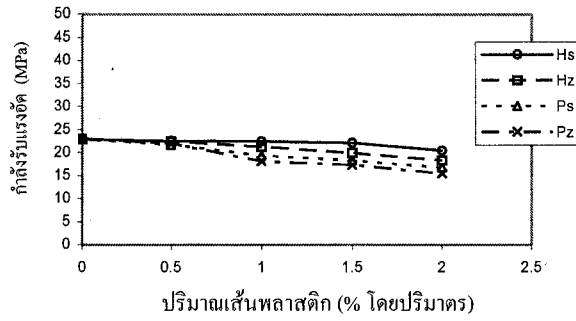
การทดสอบกำลังรับแรงอัดพบว่า เมื่อพลีอ็อกกำลังรับแรงอัดกับปริมาณเส้นพลาสติกจะได้กราฟเส้นโค้งดังแสดงในรูปที่ 2 – 4 จะเห็นว่าคอนกรีตเสริมเส้นพลาสติกมีค่ากำลังรับแรงอัดลดลง



รูปที่ 2 กราฟกำลังรับแรงอัดที่ w/c เท่ากับ 0.4



รูปที่ 3 กราฟกำลังรับแรงอัดที่ w/c เท่ากับ 0.5

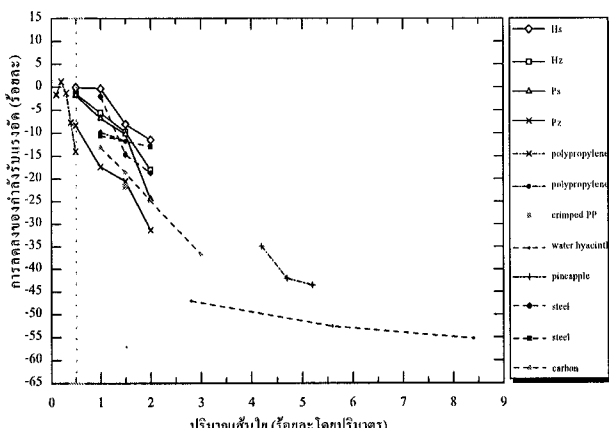


รูปที่ 4 กราฟกำลังรับแรงอัดที่  $w/c$  เท่ากับ 0.6

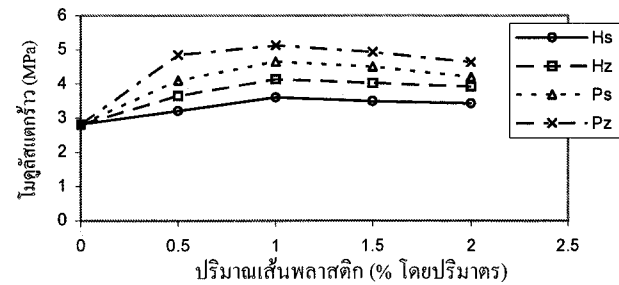
การเสริมเส้นพลาสติก PET และ HDPE ในคอนกรีตมีผลให้กำลังรับแรงอัดลดลง ซึ่งมีแนวโน้มเช่นเดียวกับผลที่ได้ใน [1], [11]-[16] ดังแสดงในรูปที่ 5 เมื่อพิจารณาปริมาณเส้นใยสังเคราะห์ที่เสริมในคอนกรีตอยู่ในช่วงร้อยละ 0.1 ถึง 2 โดยปริมาตร จะเห็นว่าการเสริมเส้นพลาสติก Hs, Hz, และ Ps ให้กำลังรับแรงอัดลดลงน้อยกว่าเส้นใยโพลีไพรีลีนและเส้นใยคาร์บอน และมีร้อยละการลดลงใกล้เคียงกับเส้นใยเหล็ก ส่วนเส้นใยธรรมชาติจะเสริมในปริมาณมากกว่าร้อยละ 2 ให้กำลังรับแรงอัดลดลงมากกว่า กำลังรับแรงอัดซึ่งขึ้นกับชนิด ขนาด และรูปร่างของเส้นใย จะพบว่าเส้นพลาสติกซิกแซกกำลังรับแรงอัดนิ่วคล่องมากกว่าเส้นพลาสติกตรง ซึ่งให้ผลเช่นเดียวกับผลที่ได้ในคอนกรีตเสริมเส้นใยโพลีไพรีลีนแบบลอนที่ทำให้กำลังรับแรงอัดคอนกรีตลดลงมากกว่าเส้นใยตรงที่ปริมาณเส้นใยเท่ากัน

### 3.2 กำลังรับแรงดึง

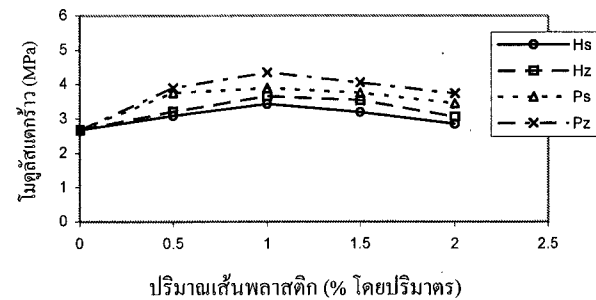
กำลังรับแรงดด้านการใช้ค่าไมครอสแตกร้าวในการ  
เปรียบเทียบ จากการศึกษาเมื่อพล็อตค่าไมครอสแตกร้าวกับ  
ปริมาณเส้นพลาสติกที่เสริมในคอนกรีต ได้กราฟเส้นโค้งกว่าดัง  
แสดงในรูปที่ 6 – 8



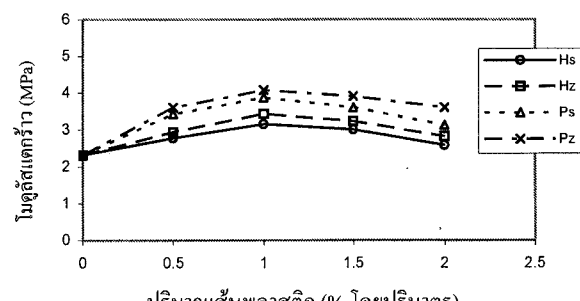
รูปที่ 5 การเปรียบเทียบกำลังรับแรงอัดของคอนกรีตเสริม筋 Eisen ใช้ชนิดต่างๆ



รูปที่ 6 กราฟโมดูลัสแตกกร้าวที่ w/c เท่ากับ 0.4



รูปที่ 7 กราฟโมดูลัสแตกกร้าวที่  $w/c$  เท่ากับ 0.5



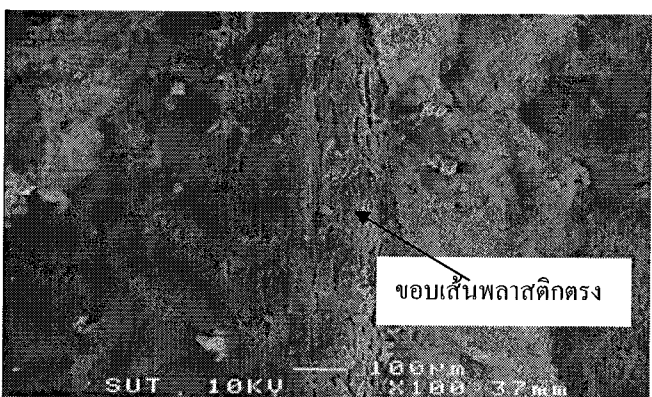
ຮັບອະນຸມາດຕະຖານາ (ກໍາໄລຍະວິທີ)

ซึ่งพบว่า คอนกรีตเสริมเส้นพลาสติกมีค่ากำลังรับแรงดึงเพิ่มขึ้นเมื่อเทียบกับคอนกรีตที่ไม่เสริมเส้นพลาสติกประมาณร้อยละ 5 ถึง 50 ที่อัตราส่วนน้ำต่อชิเมนต์เดียวกัน โนมูลัสແแทกร้าวมีค่าสูงสุดเมื่อคอนกรีตมีปริมาณเส้นพลาสติกว้อยละ 1.0 โดยปริมาตร เมื่อพิจารณาค่าคงกลดเส้นพลาสติกตามชนิดและรูปร่างของขอบเส้นพลาสติกพบว่า ที่ปริมาณเส้นพลาสติกเท่ากัน ค่าโนมูลัสແแทกร้าวของคอนกรีตเสริมเส้นพลาสติก Pz มีค่าสูงที่สุด รองลงมาคือ เส้นพลาสติก Ps, Hz และ Hs ตามลำดับ การเสริมเส้นพลาสติกชนิด PET ให้ค่าโนมูลัสແแทกร้าวสูงกว่าการเสริมเส้นพลาสติกชนิด HDPE เนื่องจากพลาสติกชนิด PET มีกำลังรับแรงดึงสูงกว่าพลาสติกชนิด HDPE คอนกรีตเสริมเส้นพลาสติกซิกแซกให้ค่าโนมูลัสແแทกร้าวสูงกว่าคอนกรีตที่เสริมเส้นพลาสติกตรึง ทั้งนี้เส้นพลาสติกซิกแซกทำ

ให้การยึดเกาะของเส้นพลาสติกกับเนื้อคอนกรีตได้ดีกว่าเส้นพลาสติกตรง ดังแสดงในรูปที่ 9 - 10



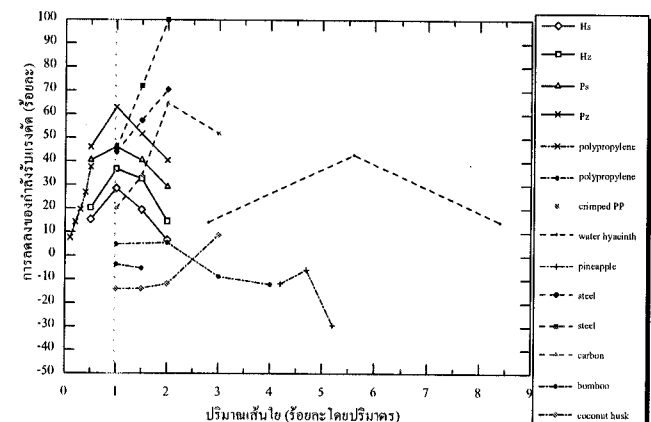
รูปที่ 9 เส้นพลาสติกขอบซิขิชแซกในเนื้อคอนกรีต



รูปที่ 10 เส้นพลาสติกขอบของตรงในเนื้อคอนกรีต

คอนกรีตเสริมเส้นพลาสติก PET และ HDPE มีกำลังรับแรงดัดเพิ่มขึ้น มีแนวโน้มคล้ายคอนกรีตเสริมเส้นใยโพลีไพรพลีนที่ได้ใน [1] และ [8] ซึ่งเป็นกลุ่มเส้นใยสังเคราะห์เหมือนกัน ซึ่งการเสริมเส้นพลาสติกให้กำลังรับแรงดัดสูงที่สุดปริมาณเส้นไขร้อยละ 1.0 เมื่อปริมาณเส้นพลาสติกมากกว่าร้อยละ 1.0 กำลังรับแรงดัดลดลงเนื่องจากการแตกตัวภายในระหว่างซีเมนต์กับเส้นไขมีปริมาณเพิ่มขึ้น การเสริมเส้นพลาสติกปริมาณร้อยละ 1.0 มีร้อยละการเพิ่มสูงกว่าเส้นไขโพลีไพรพลีนและเส้นไขคาร์บอน รวมถึงเส้นไขธรรมชาติดังแสดงในรูปที่ 11 การเสริมเส้นพลาสติก Pz ปริมาณร้อยละ 1.0 ให้ร้อยละการเพิ่มของกำลังรับแรงดัดสูงกว่าเส้นไขเหล็ก แต่การเสริมเส้นพลาสติก Hs และ Hz ปริมาณร้อยละ 1.0 ให้ร้อยละการเพิ่มของกำลังรับแรงดัดต่ำกว่าเส้นไขเหล็ก ส่วนคอนกรีตเสริมเส้นไขเหล็กและเส้นไขคาร์บอนให้กำลังรับแรงดัดสูงขึ้นเมื่อปริมาณเส้นไขมากกว่าร้อยละ 1.0 ซึ่งกำลังรับแรงดัดของคอนกรีตเสริมเส้นไขนั้นขึ้นกับ

ปัจจัยต่างๆ ได้แก่ชนิด รูปร่าง ขนาด และปริมาณของเส้นไข ซึ่งมีปริมาณเส้นไขที่เหมาะสมแตกต่างกัน

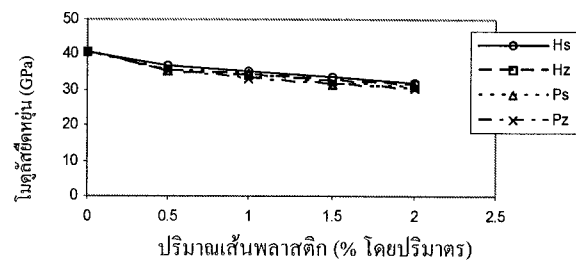


รูปที่ 11 การเปรียบเทียบกำลังรับแรงดัดของคอนกรีตเสริมเส้นไขชนิดต่างๆ

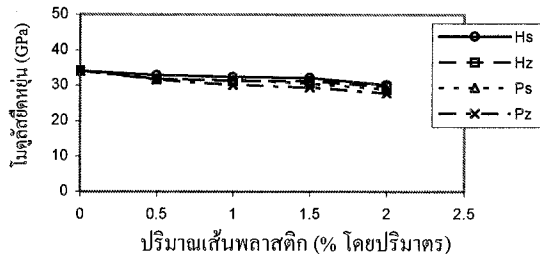
### 3.3 ไมครูลัสเซียดหยุ่น

เมื่อพล็อตไมครูลัสเซียดหยุ่นที่ได้จากการทดสอบกำลังรับแรงดัดกับปริมาณเส้นพลาสติกจะได้กราฟเกือบเส้นตรงดังที่แสดงในรูปที่ 12 – 14

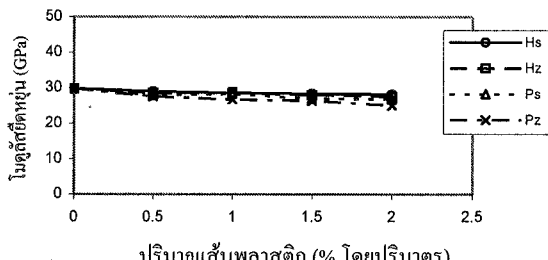
ซึ่งแสดงว่า ไมครูลัสเซียดหยุ่นของคอนกรีตเสริมเส้นพลาสติกลดลงเมื่อเทียบกับคอนกรีตที่ไม่เสริมเส้นพลาสติก (ร้อยละ 3 ถึง 24) คอนกรีตเสริมเส้นพลาสติกที่อัตราส่วนน้ำต่อซีเมนต์เท่ากับ 0.4 ให้ไมครูลัสเซียดหยุ่นลดลงมากที่สุด (ร้อยละ 8 ถึง 24) ส่วนที่อัตราส่วนน้ำต่อซีเมนต์เท่ากับ 0.5 และ 0.6 ไมครูลัสเซียดหยุ่นลดลง (ร้อยละ 3 ถึง 15) เมื่อพิจารณาชนิดพลาสติก และรูปร่างของเส้นพลาสติกพบว่า เส้นพลาสติกทั้งสองชนิดและทั้งสองรูปร่างให้ไมครูลัสเซียดหยุ่นใกล้เคียงกัน ซึ่งน่าจะมีสาเหตุมาจากการไมครูลัสเซียดหยุ่นของพลาสติกมีค่าน้อยกว่าไมครูลัสเซียดหยุ่นของคอนกรีต



รูปที่ 12 กราฟไมครูลัสเซียดหยุ่นที่ w/c เท่ากับ 0.4

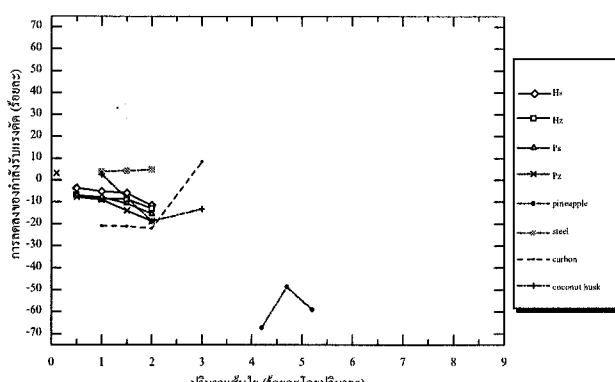


รูปที่ 13 กราฟโมดูลัสยึดหยุ่นที่  $w/c$  เท่ากับ 0.5



รูปที่ 14 กราฟโมดูลัสยึดหยุ่นที่  $w/c$  เท่ากับ 0.6

คอนกรีตเสริมเส้นพลาสติก PET และ HDPE มีโมดูลัสยึดหยุ่นลดลงแต่ไม่นักนัก ซึ่งคล้ายกับคอนกรีตเสริมเส้นไขชนิดต่างๆ ดังแสดงในรูปที่ 15

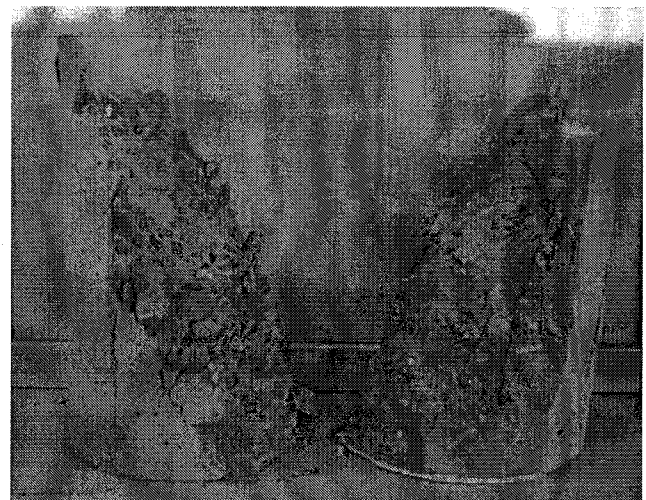


รูปที่ 15 การเปรียบเทียบโมดูลัสยึดหยุ่นของคอนกรีตเสริมเส้นไขชนิดต่างๆ

### 3.4 ลักษณะการวิบัติ

เมื่อพิจารณาลักษณะการวิบัติของตัวอย่างทดสอบการรับแรงอัดพบว่า คอนกรีตเสริมเส้นพลาสติกและคอนกรีตที่ไม่เสริมเส้นพลาสติกมีการวิบัติแบบเดียวกันคือ วิบัติน่องจากแรงอัดและแรงเฉือนร่วมกัน ดังแสดงในรูปที่ 16 จะสังเกตเห็นได้ว่า รอยแตกร้าวของตัวอย่างคอนกรีต จะทำมุมประมาณ 50-60 องศากับแนวระดับ สาเหตุที่ทำให้คอนกรีตวิบัติในลักษณะดังกล่าว เนื่องจาก คอนกรีตเป็นวัสดุที่ไม่เป็นเนื้อเดียวกันรวมทั้งแรงเสียดทานระหว่างหัวกัดและตัวอย่างทดสอบเนื่องจาก

การขยายตัวด้านข้าง ทำให้หันน่วงแรง ที่เกิดขึ้นในวัสดุเปลี่ยนไป และลักษณะวินัยนี้เหมือนกับที่เกิดกับคอนกรีตเสริมเส้นไขจากพรุนที่ใช้แล้ว [9]



รูปที่ 16 ลักษณะการวิบัติของตัวอย่างทดสอบคอนกรีตที่รูปทรงกระบอก

สำหรับการวิบัติของงานคอนกรีตพบว่า คอนกรีตเสริมเส้นพลาสติกทั้ง 4 แบบได้แก่ Hs, Hz, Ps และ Pz ที่ปริมาณเส้นพลาสติกร้อยละ 0.5 โดยปริมาตร มีลักษณะการวิบัติเช่นเดียวกับคอนกรีตที่ไม่เสริมเส้นพลาสติก คือการตัวอย่างทดสอบจะขาดที่กึ่งกลางจากด้านล่างและแยกเป็นสองส่วนอย่างรวดเร็วเมื่อแรงกระทำขึ้นถึงค่าสูงสุด แต่คอนกรีตเสริมเส้นพลาสติกร้อยละ 1.0, 1.5 และ 2.0 งานตัวอย่างทดสอบจะเกิดรอยแยกที่กึ่งกลางแต่ไม่ขาดเป็นสองส่วน เพราะมีเส้นพลาสติกชีดไว ดังแสดงในรูปที่ 17 ซึ่งคล้ายกับที่เกิดกับคอนกรีตที่เสริมเส้นไขจากพรุนที่ใช้แล้ว [9] และเส้นไขเหล็ก แต่ยังไร์ก์ตามการใช้เส้นไขประเภทต่างๆ เสริมในคอนกรีตวัตถุประสงค์หลักไม่ใช่เพื่อเพิ่มกำลังอัดของคอนกรีตแต่เพื่อเส้นไขจะเข้ามาช่วยซ่อนช่องว่างของรอยแตกร้าวและเพิ่มความหนาแน่น [10]



รูปที่ 17 ลักษณะการวิบัติของงานคอนกรีตที่เสริมเส้นพลาสติก

## 4 สรุปผลการศึกษา

จากการศึกษาพบว่า การเสริมเส้นพลาสติกที่ใช้แล้วแบบสั้น ในคอนกรีตสามารถสรุปผลดังนี้

1. กำลังรับแรงอัดลดลงเมื่อปริมาณเส้นพลาสติกเพิ่มขึ้น การเสริมเส้นพลาสติก Hs ให้กำลังรับแรงอัดลดลงน้อยที่สุด และ Pz ให้กำลังรับแรงอัดต่ำที่สุด

2. คอนกรีตเสริมเส้นพลาสติกมีกำลังรับแรงดัดเพิ่มขึ้น และ การเสริมเส้นพลาสติกทุกแบบปริมาณร้อยละ 1.0 โดยปริมาตร จะให้กำลังรับแรงดัดสูงที่สุด เส้นพลาสติกที่ให้กำลังรับแรงดัดต่ำที่สุดคือเส้นพลาสติก Pz ส่วนเส้นพลาสติก Hs ให้กำลังรับแรงดัดต่ำที่สุด

3. คอนกรีตเสริมเส้นพลาสติกมีโมดูลัสยืดหยุ่นลดลง และ ชนิดและรูปร่างของเส้นพลาสติกมีผลต่อค่าโมดูลัสยืดหยุ่นน้อยมาก

4. การวินิจฉัยของคอนกรีตเสริมเส้นพลาสติกร้อยละ 0.5 เป็นแบบทันทีทันใด เช่นเดียวกับคอนกรีตที่ไม่เสริมเส้นพลาสติก และเมื่อเสริมเส้นพลาสติกร้อยละ 1.0, 1.5, และ 2.0 เส้นพลาสติกจะยึดช่วยให้คอนกรีตไม่ขาดจากกัน

5. คอนกรีตเสริมเส้นพลาสติกมีกำลังรับแรงอัดและกำลังรับแรงดัดลดลงเมื่ออัตราส่วนน้ำต่อชีเมนต์เพิ่มขึ้น และอัตราการลดลงของกำลังรับแรงดัดมากที่สุดที่อัตราส่วนน้ำต่อชีเมนต์เท่ากับ 0.4, 0.5 และ 0.6 ตามลำดับ

## 5 เอกสารอ้างอิง

- [1] ตะรากุล อร่วมรักษ์, ประเสริฐ สุวรรณวิทยา และพรชัย ธรรมอักษร, 2000. อิทธิพลของเส้นใยโพลีไพรีลีนต่อคุณสมบัติเชิงกลของคอนกรีต. เอกสารประกอบการประชุมวิชาการวิศวกรรมโยธาแห่งชาติครั้งที่ 6: MAT-25 – MAT-30.
- [2] Naaman, A. E., Garcia, S., Korkmaz, M., and Li, V.C., 1996. Investigation of the use of carpet waste PP fibers in concrete. Journal of materials in civil engineering: 782 – 791.
- [3] Khajuria, A., and Balaguru, P., 1992. Fiber reinforced cement and concrete. London: E&FN Spon.

- [4] Selke, S. E., 1997. Understanding Plastics Packaging Technology. Munich: Carl Hanser Verlag.
- [5] American Society for Testing and Materials (ASTM), 1996. Annual Book of ASTM Standards: Standard Method of Test for Compressive Strength of Cylindrical Concrete Specimens: C39. Volume 04.02. New York: Clearance Center.
- [6] American Society for Testing and Materials (ASTM), 1994. Annual Book of ASTM Standards: Standard Test Method for Flexural Strength of Concrete (Using Simple Beam with Third-Point Loading): C78. Volume 04.02. New York: Clearance Center.
- [7] American Society for Testing and Materials (ASTM), 1994. Annual Book of ASTM Standards: Standard Test Method for Static Modulus of Elasticity and Poisson's Ratio of Concrete in Compression: C469. Volume 04.02. New York: Clearance Center.
- [8] Gupta, P., Banthia, N., and Yan, C., 2000. Fiber reinforced wet-mix shotcrete under impact. Journal of materials in civil engineering: 81 – 90.
- [9] Wang, Y., Zureick, A. H., Cho, B. S., and Scott, D. E., 1994. Properties of fiber reinforced concrete using recycled fibers from carpet industrial waste. Journal of materials science, 29(16) : 191-4199.
- [10] Derucher, K. N., Korfiatis, G. P., and Ezeldin, A. S., 1994. Materials for Civil and Highway Engineers. 3<sup>rd</sup> ed. New Jersey: Prentice Hall.
- [11] อนพัช พรมมาณพ, 2541. คุณสมบัติของผลิตภัณฑ์มอร์ต้าเสริมเส้นใยสับปะรด. มหาบัณฑิตวิทยานิพนธ์ มหาวิทยาลัยรังสิต.
- [12] พยุงศักดิ์ ศรีอิ่มไพร, 2542. คุณสมบัติของผลิตภัณฑ์มอร์ต้าเสริมเส้นใยผักบูชา. มหาบัณฑิตวิทยานิพนธ์ มหาวิทยาลัยรังสิต.
- [13] Nitima Tantadilok, 2003. EFFECT OF STEEL FIBERS AND FLY ASH ON CONCRETE STRENGTH. Kasetsart University.
- [14] Fukushima, T., Shirayama, K., Hitotsuya, K., and Maruyama, T., 1992. Fiber Reinforced Cement and Concrete. London: E&FN Spon.
- [15] Ramirez-Coretti, A., 1992. Fiber Reinforced Cement and Concrete. London: E&FN Spon.
- [16] Swamy, R. N., 1988. Natural Fiber Reinforced Cement and Concrete. London: Blackie.